



СТАЦИОНАР МАСАЛАНИ ЕЧИШНИНГ СОНЛИ УСУЛИ

Аминов Хаётжон Халимжонович

Ориентал университети, Тошкент, Ўзбекистон

Газ қувурлари тармоғини лойиҳалашда одатда формулалардан – стационар шароитдаги масалаларнинг аналитик ечимларидан фойдаланилади, ҳисоб-китоблар босим, қувур элементар қисмининг ёки тармоқнинг ўтказувчанлик қобилияти ва газ жамлаш имконияти бўйича амалга оширилади [1].

Амалиётда қувур қисмини маълум бир диаметрли ва қиялиги фиксиранган бурчакка эга бўлган соҳаларга бўлиш усули қўлланилади. Бундай бўлинеш учун қўлланиладиган формулалар [2, 3] ишларда келтирилган. Афсуски, унда босимнинг ҳисоб-китоби ошкормас формула билан амалга оширилади, бу эса фойдаланувчиларнинг ишини қийинлаштиради. Шу муносабат билан ўзгарувчи диаметрли ва қияликли трассаларни ҳисоблаш газ қувурлари тармоғини лойиҳалаш амалиётида алоҳида масала бўлиб қолади ва унга эътибор қаратамиз.

Бобнинг биринчи параграфида келтирилган босим градиенти тенгламаси (3.3) ўзгарувчи диаметр D ёки кўндаланг кесим юзаси $f(x) = \pi D(x)^2 / 4$ учун ишлайди.

Бунинг сабаби $\frac{\partial f}{\partial x}$ ҳаднинг мавжудлиги бўлиб, у сакраб ўзгариб туради. Мухандислик амалиётида бу ҳол маҳаллий қаршилик билан ҳисобга олинади [4]. Турли диаметрли қувурлар кесими ҳисоблашнинг якуний босқичида ҳисобга олинади. Ушбу фаразга кўра, тенглама қувурнинг кўндаланг кесим юзаси ўзгариши билан боғлиқ ҳадни ҳисобга олмадик [5-10]:

$$\frac{dp}{dx} = (1 - \psi)^{-1} \left(-\frac{pg \sin \alpha}{c^2} - \frac{\lambda p}{2D} \psi \right),$$

бу ерда

$$\psi = \psi(x) = \frac{16(M^0)^2 c^2}{\pi^2 D^4 p}.$$

Киришдаги босим p_{00} ва ўзгармас масса сарфи M^0 маълум бўлса, берилган қувурнинг l узунлиги бўйлаб α ва D ўзгариши қонунлари берилганида биз охирги тенгламани

$$\frac{p_{i+1} - p_i}{\Delta x} = \left(\frac{g}{c^2} \sin \alpha_i - \frac{\lambda}{2D_i} \psi_i \right) p_i / (1 - \psi_i)$$

орқага қараб аппроксимация қиласиз ва бу ердан биз рекуррент формулани оламиз:

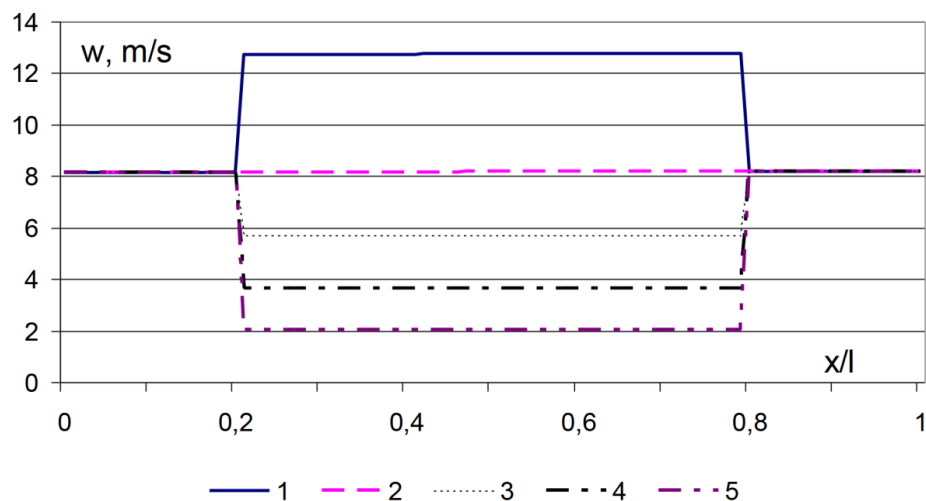
$$p_{i+1} = p_i + \frac{\Delta x p_i}{1 - \psi_i} \left(-\frac{g}{c^2} \sin \alpha_i - \frac{\lambda}{2D_i} \psi_i \right).$$



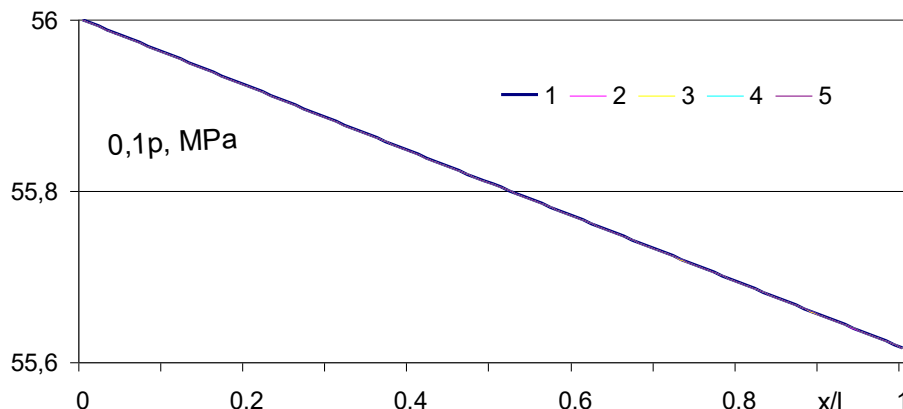
Ушбу формуладан чизиқли участканинг параметрлари учун турли хил вариантларда босимни топишда фойдаланамиз. Диаметр силлик ўзгарганда $\frac{1}{f} \frac{df}{dx} = 2 \frac{d}{dx} \ln D$ ни хисобга олиш учун қўшимча $\frac{2}{\Delta x} \ln \frac{D_i}{D_{i-1}}$ хадни қўшиб олиш мумкин.

Шундай қилиб, ушбу параграфда диаметр силлик ўзгарган ҳолда нивелир баландлиги аниқ газ қувури қисмини хисоблаш усули ишлаб чиқилди ва сонли тажрибалар ўтказилди.

Тақдим этилган схема бўйича шартнинг турли вариантлари бўйича хисобкитоблар ўтказилди. Вставкали горизонтал қисмни, ўзгармас диаметрли эгри трассани, вертикал қувурни ва қувур диаметрининг локал синусоидал ўзгариши ҳолларини кўриб чиқдик. Бу мақсадда қуйидаги маълумотлардан фойдаланилди: $L=1000, 10000 \text{ m}$; $D=0.8, 1, 1.2, 1.5 \text{ и } 2 \text{ m}$; $\lambda=0.028$; $M=250 \text{ и } 350 \text{ kg/c}$; $T=300 \text{ K}$, $\rho_* = 0.699 \text{ kg/m}^3$, $c=378,2 \text{ m/c}$, $p_{00} = 5.6 \text{ MPa}$, $z=0.92$.



1-расм. Диаметри 1м (2-чизик) бўлган 10 кмли қувурнинг 2-8 км оралигида диаметри 0,8м (1), 1,2м (3), 1,5м (4) ва 2м бўлган қувур (вставка) ўрнатилганда газ тезлигининг тақсимланиши. $M^0 = 250.0 \text{ kg/c}$, $p_{00} = 5.6 \text{ MPa}$, $\sin \alpha = 0.1$, $L = 10 \text{ km}$



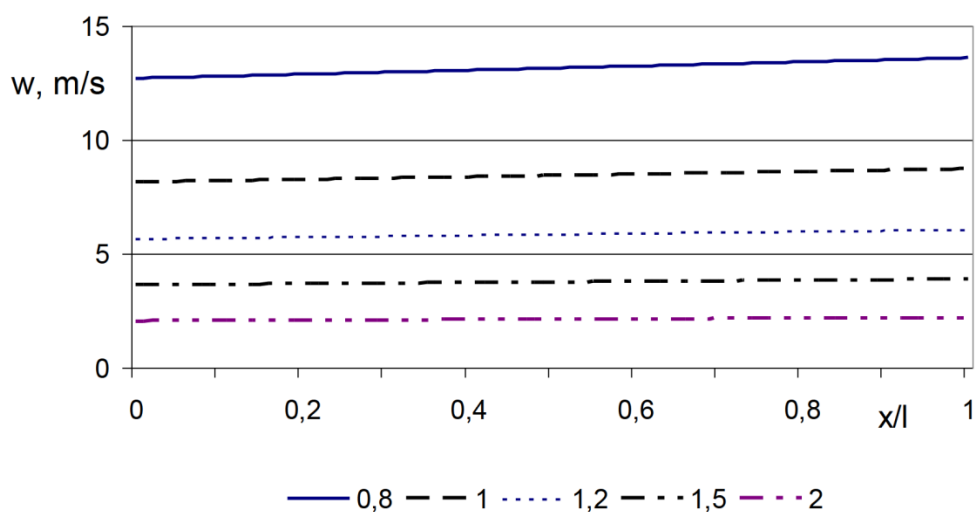
2-расм. 1-расмдаги ҳоллар учун қия қувурда босим тарқалиши



Дастлабки иккита расмда газ тезлиги ва босимининг 10 км узунликдаги ҳамда $x < 2 \text{ км}$ ва $x > 8 \text{ км}$ бўлганда диаметри 1 м ли қувурдаги тақсимотлари кўрсатилган. Кўшимчанинг диаметри $0,8$ (1), 1 (2), $1,2$ (3), $1,5$ (4) ва $2,0$ (5) м . Киришда босим $5,6 \text{ МПа}$, газнинг масса сарфи эса 250 кг/с ни ташкил этди. Қувурнинг қиялиги $\sin \alpha = 0.1 = \text{const}$ эди.

1-расмдан кўриниб турибдикни, диаметрнинг кескин ошиши билан тезликнинг пасайиши содир бўлади ва аксинча. Катта диаметрли қувурни улаш босимнинг пасайишига деярли таъсир кўрсатмади.

Шу каби ҳисоб-китоблар $\sin \alpha = 0$, $\sin \alpha = -0.1$ учун амалга оширилди. Олинган натижалар тезликнинг тақсимланишидаги ўзгаришлар аҳамиятсиз эканлигини кўрсатди ва $\sin \alpha = 0$ билан олинган босим тушиши (5.63856 МПа) 2-расмдагида ва $\sin \alpha = -0.1$ да (5.63861 МПа) эса камроқ бўлди.



3-расм. Турли диаметрли (м) вертикал қувурда газ тезлигининг тақсимланиши. Белгилашлар 1-расмда берилган

Қувурнинг узунлиги бўйича босимнинг ўзгариши кичиклиги туфайли эгри чизиқлар 3.1-расмдаги тезликларни такрорлади. $0.8, 1.0, 1.2, 1.5$ ва 2.0 м ли диаметрлар учун участканинг кириш қисмида тезлик $12.70, 12.70, 8.13, 5.65, 3.61, 2.03 \text{ м/с}$ ва участканинг чиқишида ($l=1 \text{ км}$) $13.6, 8.71, 6.05, 2.87, 2.18 \text{ м/с}$ бўлди: 5.6 МПа кириш босими, чиқиш босими $5.22849 - 5.22891 \text{ МПа}$ оралиғида ўзгарди. Бу ерда босимнинг пасайиши қаршилик кучига ва қувур ўқининг баландлиги ўзгаришига қараб содир бўлди. Газ юқорига кўтарилганда, оғирлик кучини енгишга энергия сарфланлиги сабаби босим пасайиши янада ортади.

$l=1 \text{ км}$, $\sin \alpha = -1$ да ҳисоблаш натижалари шуни кўрсатдикни, киришдаги газ тезлиги қийматлари $\sin \alpha = 1$ билан бир хил бўлади. Аммо чиқиш тезлиги $11.86, 7.59, 5.27, 3.37$ ва 1.90 м/с ни ташкил қиласди, бу $\sin \alpha = 1$ га қараганда анча паст. Бунинг сабаби шундаки, маълум бир диаметрлар тўплами ва $\sin \alpha = -1$ учун довон орти оқим

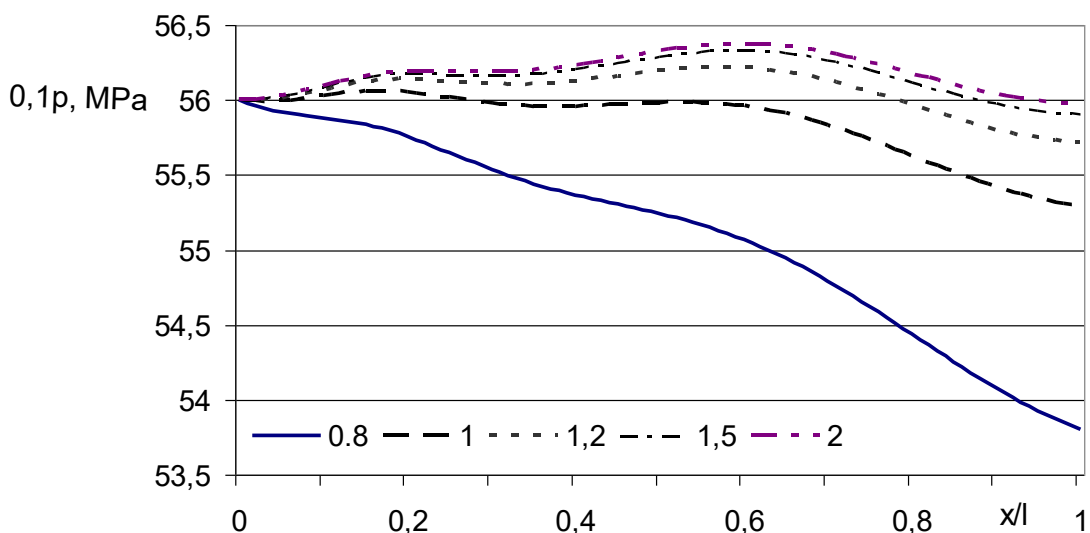


режими ҳосил бўлади [39, 44]: тортишиш кучи ишқаланиш кучини енгиш учун қисман сарфланади, қолган қисми эса газни сиқишининг потенциал энергияси шаклида тўпланади. Шунинг учун довон орти режимида босим кесим диаметрига қараб 5,6 MPa дан 59,9782 - 59,9740 MPa гача қўтарилади.

Трассанинг мураккаб шакли сифатида рельефнинг қуйидаги варианти кўриб чиқилди:

$$z_1(x) = \begin{cases} \frac{H}{4} \left(\cos \frac{\pi x}{0.2l} - 1 \right) & \frac{x}{l} \leq 0.2 \text{ da}, \\ -\frac{H}{2} & 0.2 < \frac{x}{l} \leq 0.3 \text{ da}, \\ \frac{H}{4} \left(\cos \frac{\pi \left(\frac{x}{l} - 0.3 \right)}{0.3l} - 3.0 \right) & 0.3 < \frac{x}{l} \leq 0.6 \text{ da}, \\ -\frac{H}{2} \cos \left(\frac{\pi(x-0.6l)}{0.4l} \right) + 1 & 0.6 < \frac{x}{l} \leq 1 \text{ da}. \end{cases}$$

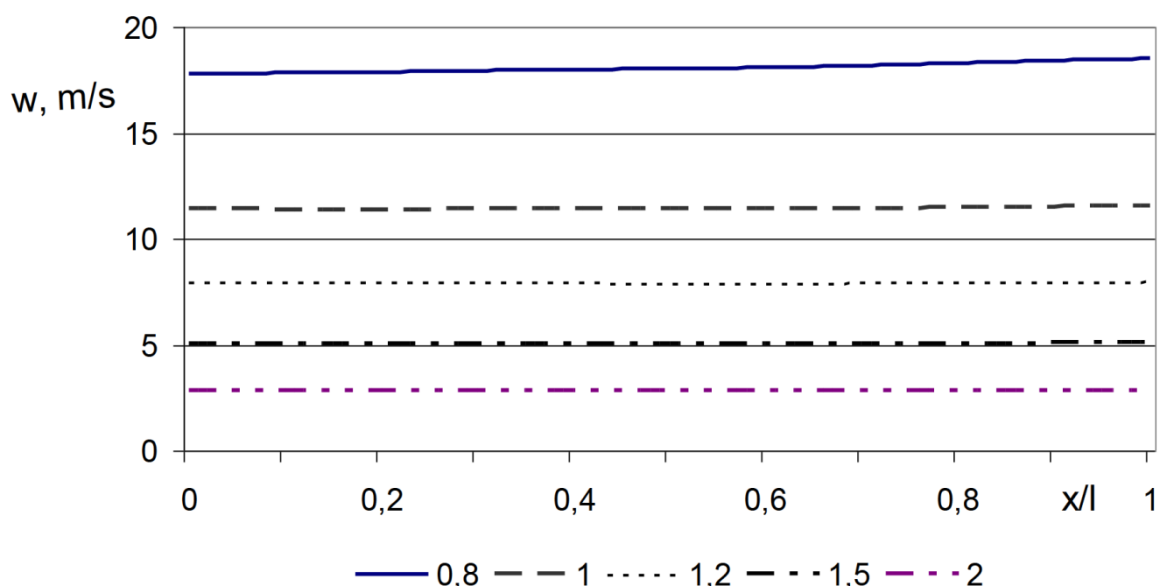
Ушбу йўналишдаги босимнинг турли хил ўзгармас диаметрларда ўзгариши 4-расмда келтирилган. Бу натижалар $l=10000m$, $H=1000 m$ учун олинган. Кичик диаметрда ($D=0.8$ - узлуксиз чизик) монотон камаювчи босим олинди. Диаметрнинг ошиши билан одатий ва довон орти оқим режимларининг аралашиб келиши кузатилди.



4-расм. Турли диаметрлар (м) учун эгри чизикли трасса бўйлаб босимнинг ўзгариши



Эгри трассага тегишли тезлик тақсимотлари 5-расмда күрсатилган.



5-расм. Газ тезлигининг эгри трасса бўйича тақсимланиши, участканинг ҳар хил диаметрларида (м)

Диаметрнинг локал синусоидал кенгайиши ҳолида ҳамбилинг 1 м дагига ўхшаш натижалар олинди. Қувур қисмининг хирида босим 55.5145 дан 55.5505 МПа гача оралиқда бўлди.

ФОЙДАЛАНИЛГАН АДАБИЁТЛАР РЎЙХАТИ:

1. Акбасов А.Р. Разработка интеллектуальной системы управления тепловыми сетями города: Дисс... док-ра PhD. – Алматы, Казахский национальный технический университет им. К.И. Сатпаева, 2011. – 115 с.
2. Аствацатурьян Р. Е., Kocharyan E. B. Моделирование движения газа в газопроводах с учетом сил инерции потока // Электронный научный журнал: Нефтьегазовое дело, 2007. <http://www.ogbus.ru>
3. Бобровский С. А., Щербаков С. Г., Гусейн-заде М. А. Движение газа в газопроводах с путевым отбором. – М.: Наука, 1972. – 193 с.
4. Бозоров О. Ш., Маматкулов М. М. Аналитические исследования нелинейных гидродинамических явлений в средах с медленно меняющимися параметрами. – Ташкент, ТИТЛП, 2015. – 96 с.
5. Будак Б.М., Самарский А.А., Тихонов А.Н. Сборник задач по математической физике. - М.: Наука, 1972. – 678 с.
6. Булович С. В. Математическое моделирование течения газа в окрестности открытого торца трубы при колебаниях поршня на другом конце трубы по



гармоническому закону на резонансной частоте // Журнал технической физики, 2017, том 87, вып. 11. – С. 1632-1636. DOI: 10.21883/JTF.2017.11.45121.2086

7. Ванчин А. Г. Методы расчета режима работы сложных магистральных газопроводов. – Электронный научный журнал «Нефтьегазовое дело». 2014, №4. – С. 192-214. <http://www.ogbus.ru>

8. Ванчин А. Г. Определение границ применения стационарной и нестационарной моделей работы газопровода // Нефтьегазовое дело: электронный научный журнал. 2014, №1. – С. 598-617. <http://www.ogbus.ru>

9. Воеводин А. Ф., Никифоровская В. С. Численный метод определения места утечки жидкости или газа в трубопроводе // Сибирский журнал индустриальной математики. Январь–март, 2009. Том XII, №1(37). – С. 25-30.

10. Галиакбарова Э. В., Галиакбаров В. Ф. Математическое моделирование при импульсном исследовании магистральных трубопроводов в режиме перекачки нефтепродуктов для обнаружения утечек // Электронный научный журнал «Нефтьегазовое дело», 2013, №1. – С. 281-293. <http://www.ogbus.ru>